

УДК 532.593+532.529+532.528+532.787+550.3

## ДИНАМИКА РАСПРЕДЕЛЕНИЯ ОСНОВНЫХ ПАРАМЕТРОВ ТЕЧЕНИЯ МАГМАТИЧЕСКОГО РАСПЛАВА В ЩЕЛЕВОМ СЕЧЕНИИ ВУЛКАНА ПРИ МГНОВЕННОЙ ДЕКОМПРЕССИИ

М. Н. Давыдов, В. К. Кедринский

Институт гидродинамики им. М. А. Лаврентьева СО РАН, 630090 Новосибирск, Россия  
E-mails: davydov@hydro.nsc.ru, kedr@hydro.nsc.ru

Рассматривается задача о динамике состояния магматического расплава, насыщенного сильно сжатым газом и находящегося при высокой температуре между двумя жесткими границами, расположенными симметрично относительно вертикальной оси. На дне канала поддерживается постоянное давление, в среде давление в начальный момент времени распределено по гидростатическому закону. Сверху канал герметично закрыт пробкой, на которую действует постоянное давление, равное атмосферному. Исследуется состояние расплава при мгновенном исчезновении пробки.

Ключевые слова: щелевое сечение вулкана, магматический расплав, декомпрессия.

DOI: 10.15372/PMTF20160604

**Постановка задачи.** Концентрация растворенного газа полагалась равновесной в соответствии с законом Генри  $C_S = K_H \sqrt{p}$ , где  $K_H$  — постоянная Генри. Описывающая течение среды система уравнений [1] для средних характеристик (давления  $p$ , плотности  $\rho$  и компонент скорости  $u, v$ ) принимает вид

$$\begin{aligned} \frac{\partial \rho}{\partial t} + \frac{\partial(\rho v)}{\partial x} + \frac{\partial(\rho u)}{\partial z} &= 0, \\ \frac{\partial v}{\partial t} + v \frac{\partial v}{\partial x} + u \frac{\partial v}{\partial z} &= -\frac{Eu}{\rho} \frac{\partial p}{\partial x} + \frac{1}{Re \rho} \left[ \frac{\partial}{\partial x} \left( \mu \frac{\partial v}{\partial x} \right) + \frac{\partial}{\partial z} \left( \mu \frac{\partial v}{\partial z} \right) \right], \\ \frac{\partial u}{\partial t} + v \frac{\partial u}{\partial x} + u \frac{\partial u}{\partial z} &= -\frac{Eu}{\rho} \frac{\partial p}{\partial z} - \frac{1}{Fr} + \frac{1}{Re \rho} \left[ \frac{\partial}{\partial x} \left( \mu \frac{\partial u}{\partial x} \right) + \frac{\partial}{\partial z} \left( \mu \frac{\partial u}{\partial z} \right) \right], \end{aligned}$$

где  $Eu, Re, Fr$  — числа Эйлера, Рейнольдса, Фруда;  $\mu$  — динамическая вязкость.

В данной работе в качестве уравнения состояния принимается линейное уравнение состояния для плотности жидкого компонента, которое с использованием уравнения Тэта записывается в виде

$$\rho_l = \rho_0(1 + (p_l - p_0)/(\rho_0 c_0^2)),$$

уравнение смеси  $\rho = \rho_l(1 - k)$  принимает вид

$$\rho = \rho_0(1 + (p - p_0)/(\rho_0 c_0^2))(1 - k).$$

Работа выполнена при финансовой поддержке Российского фонда фундаментальных исследований (код проекта 15-05-03336).

Здесь индекс  $l$  у величины  $p$  отсутствует, поскольку второе слагаемое в первых скобках достаточно мало и давление может рассматриваться как среднее. В начальный момент времени верхняя граница мгновенно становится свободной ( $p|_{z=H} = p_0$ ), и на ней формируется волна декомпрессии, распространяющаяся вниз, к очагу вулкана. За фронтом этой волны расплав оказывается в пересыщенном состоянии, что приводит к развитию в нем диффузии, увеличению плотности ядер кавитации в потоке, развитию кавитации, увеличению размеров газовых пузырьков и вязкости расплава. Основная система включает дополнительную систему уравнений, содержащих частоту нуклеации  $J$ , плотность ядер кавитации  $N$ , ширину кавитационной зоны  $\varkappa$  [2]:

$$J = J^* \exp\left(-\frac{16\pi\sigma^3}{3k_B T \Delta p^2}\right), \quad N \approx 0,6 \left(\frac{\varkappa^3 - 1}{\varkappa^5} \frac{J}{D}\right)^{3/5}, \quad \varkappa = 1 + 3 \int_1^\infty [1 - J(\chi)] \chi^2 d\chi \quad (1)$$

( $k_B$  — постоянная Больцмана;  $D$  — коэффициент диффузии;  $\sigma$  — поверхностное натяжение;  $\chi$  — работа, затраченная на образование критического зародыша в гомогенном процессе), закон изменения массы газа в пузырьке, уравнение Рэлея и уравнение состояния газа в пузырьке:

$$\frac{dm_g}{dt} = 4\pi R^2 D \rho \left(\frac{dC}{dr}\right)\Big|_{r=R}, \quad R\ddot{R} + \frac{3}{2}\dot{R}^2 = \frac{p_g - p}{\rho} - \frac{4\mu\dot{R}}{\rho R}, \quad p_g = \frac{3m_g k_B T}{4\pi R^3}$$

( $m_g$  — масса газа в пузырьке;  $R$  — радиус пузырька), а также выражение для концентрации газовой фазы

$$k = k_0(R/R_0)^3.$$

Дегазация расплава приводит к существенному увеличению его вязкости (часто на несколько порядков):

$$\mu = \mu^* \exp\left(\frac{E_\mu^*(1 - k_\mu C)}{k_B T}\right).$$

Здесь  $E_\mu^*$  — энергия активации “сухого” расплава.

Приведенная выше система уравнений дополнялась следующими граничными условиями. На стенке канала задавалось условие частичного проскальзывания

$$u|_{x=X} = u|_{x=-X} = u_{av} k / (1 - k),$$

где  $u_{av}$  — средняя скорость в соответствующем горизонтальном ( $z = \text{const}$ ) слое;  $X$  — координата полупространства. На нижней границе задано постоянное давление  $p_{ch}$ , на свободной поверхности  $G$  — условие  $p = p_0$  и уравнение движения границы  $dr_G/dt = \mathbf{u}$ . В плоскости симметрии ( $x = 0$ ) ставились условия  $\partial u / \partial x = 0$ ,  $v = 0$ .

**Обсуждение результатов.** На рис. 1 представлены распределения плотности ядер кавитации  $N$  и объемной концентрации газовой фазы  $k$  вдоль плоскости симметрии в моменты времени  $t = 0,2; 0,6; 1,0; 1,5$  с. Видно, что начиная с момента времени, близкого к  $t = 0$ , определена плотность зародышей пузырьков  $N$ , имеющая максимальное значение  $N = 2,2 \cdot 10^{12} \text{ м}^{-3}$  и в момент  $t = 0,2$  с уменьшающаяся до значения  $N = 7 \cdot 10^{11} \text{ м}^{-3}$  на фронте волны декомпрессии, в момент  $t = 1,5$  с распределение плотности ядер кавитации описывается кривой, состоящей из двух участков 1, 2 (см. рис. 1, б). Максимальное значение объемной концентрации  $k = 0,75$  было достигнуто при  $t = 0,2$  с. К моменту времени  $t = 1,5$  с в верхнем слое со свободной границей, толщина которого превышает 200 м, объемная концентрация  $k$  была равна предельному значению (см. рис. 1, б).

По распределениям давления и массовой скорости (рис. 2, а) вдоль плоскости симметрии при  $t = 0,2; 0,6$  с можно определить структуру волны декомпрессии. В первый момент

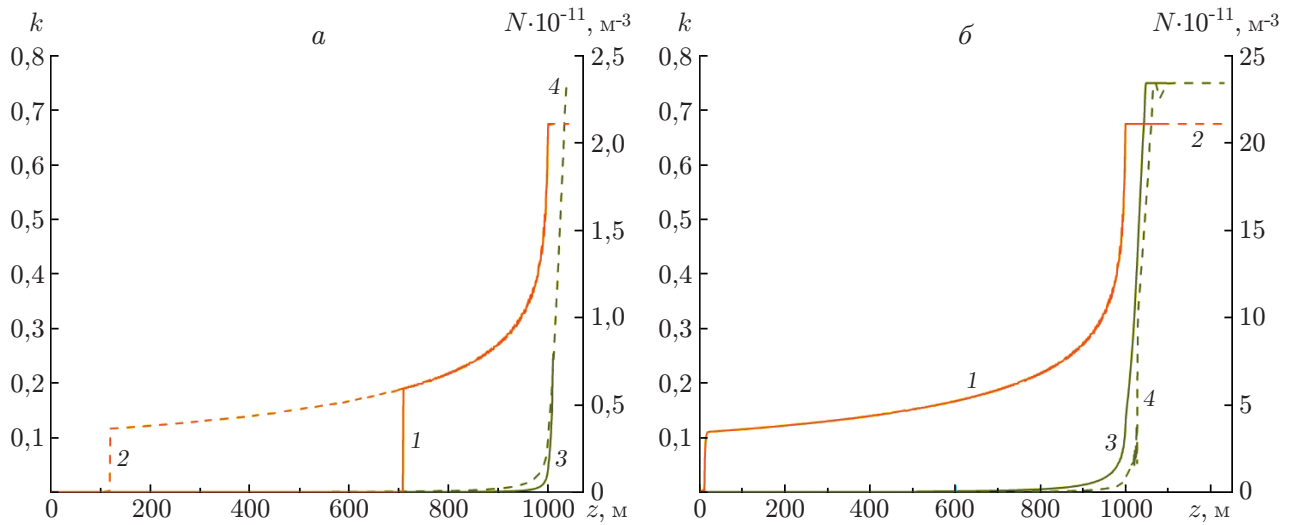


Рис. 1. Распределения плотности зародышей пузырьков (1, 2) и концентрации газовой фазы (3, 4) в плоскости симметрии:  
 а — 1, 3 —  $t = 0,2$  с, 2, 4 —  $t = 0,6$  с; б — 1, 3 —  $t = 1,0$  с, 2, 4 —  $t = 1,5$  с

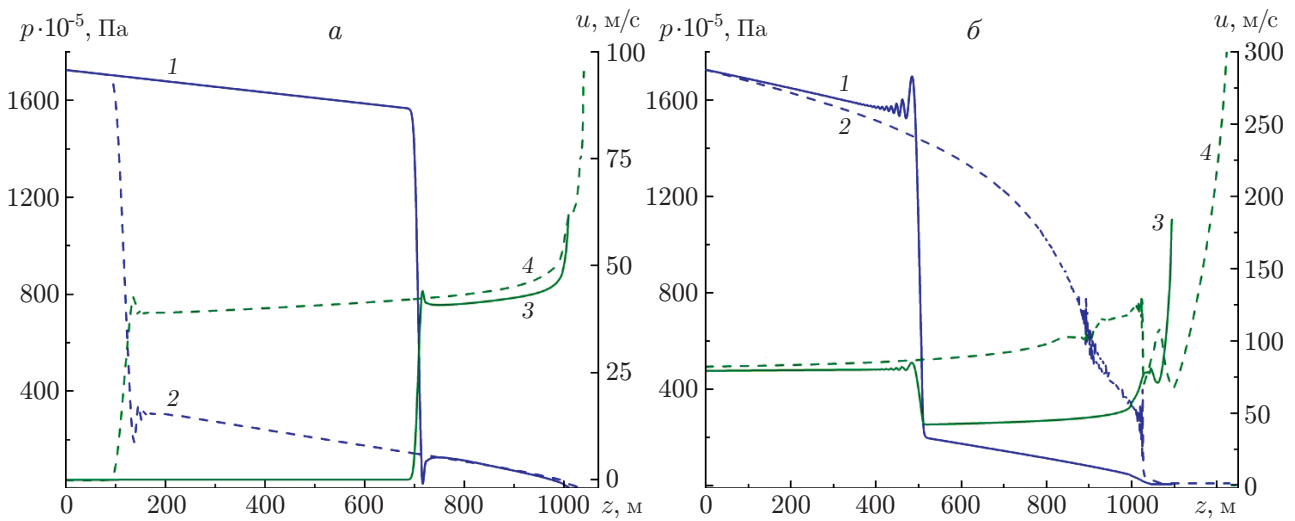


Рис. 2. Распределения давления (1, 2) и скорости (3, 4) в плоскости симметрии:  
 а — 1, 3 —  $t = 0,2$  с, 2, 4 —  $t = 0,6$  с; б — 1, 3 —  $t = 1,0$  с, 2, 4 —  $t = 1,5$  с

времени ( $t = 0,2$  с) эта волна представляет собой стандартный фронт, затем давление падает до значения  $p = p_0$ , и форма фронта не меняется до момента  $t = 0,6$  с (кривая 2 на рис. 2,а).

К моменту времени  $t = 0,6$  с массовая скорость резко увеличивается с 50 до 100 м/с. К моменту  $t = 1,0$  с отраженная волна декомпрессии сохраняет свою форму, после столкновения волны со встречным потоком распределение давления существенно меняется, а скорость потока скачкообразно возрастает до значения  $u = 300$  м/с (при  $t = 1,5$  с) (рис. 2,б).

Динамика потери газа расплавом представлена на рис. 3. За промежуток времени  $t = 0,2 \div 1,5$  с в результате диффузии газа из расплава концентрация газа уменьшилась с 0,057 до 0,050, соответственно вязкость расплава уменьшилась в несколько раз до значения  $\mu = 11\,000$  Па · с.

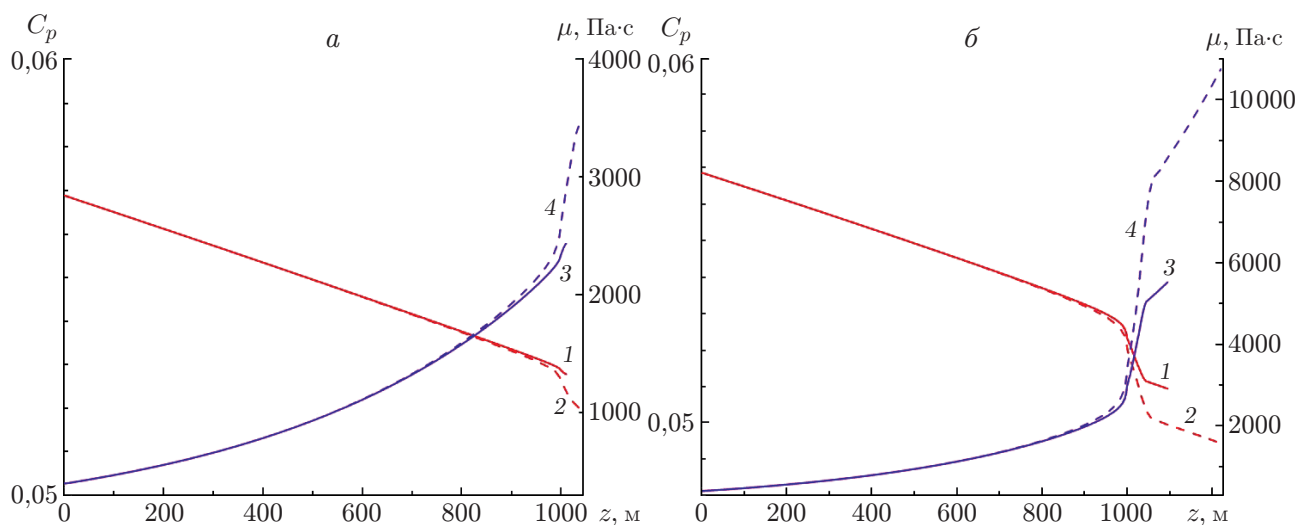


Рис. 3. Распределения концентрации растворенного газа (1, 2) и вязкости среды (3, 4) в плоскости симметрии:  
 а — 1, 3 —  $t = 0,2$  с, 2, 4 —  $t = 0,6$  с; б — 1, 3 —  $t = 1,0$  с, 2, 4 —  $t = 1,5$  с

**Заключение.** В результате численного анализа течения магматического расплава для интервала времени  $t = 1,5$  с получена информация о шести основных характеристиках целевого потока, текущего вдоль плоскости симметрии, при взрывном характере декомпрессии. Построены распределения во времени давления и массовой скорости, объемной концентрации газовой фазы и плотности кавитационных зародышей, концентрации растворенного газа в результате диффузионных процессов и увеличения вязкости. Исследования показали, что к моменту времени  $t = 1,5$  с в верхнем слое расплава толщиной более 200 м имеют место предельно высокая объемная концентрация газа  $k \approx 0,75$  и большая массовая скорость  $u = 300$  м/с.

#### ЛИТЕРАТУРА

1. Кедринский В. К., Давыдов М. Н., Пильник А. А., Чернов А. А. Раскрытие системы трещин — к механизму цикличности бокового извержения вулкана Св. Елены в 1980 г. // ПМТФ. 2016. Т. 57, № 4. С. 3–15.
2. Chernov A. A., Kedrinsky V. K., Pil'nik A. A. Kinetics of gas bubble nucleation and growth in magmatic melt at its rapid decompression // Phys. Fluids. 2014. V. 26, N 11. 116602.

Поступила в редакцию 14/XI 2016 г.